

# Material Teórico - Módulo de Introdução ao Cálculo - Derivadas de Funções Trigonométricas

## Exercícios - Parte III

### Tópicos Adicionais

**Autor: Tiago Caúla Ribeiro**  
**Revisor: Prof. Antonio Caminha M. Neto**

**10 de Outubro de 2024**



**PORTAL DA  
MATEMÁTICA**  
OBMEP

Continuamos apresentando problemas relacionados ao cálculo diferencial de funções trigonométricas, desta feita considerando aplicações à Física e à Geometria.

## 1 Exemplos

Quando estendemos ou contraímos uma mola, surge uma força atuando no sentido contrário ao do movimento, a qual denominamos *força restauradora*.<sup>1</sup>

De acordo com a *lei de Hooke*, se a mola for deslocada, na direção de seu eixo,  $x$  metros a partir de sua posição de equilíbrio, de modo a não sofrer deformações permanentes, a força restauradora se calcula (em Newtons) como  $F_r = -kx$ , sendo  $k > 0$  uma constante que depende do material da mola, sendo, por isso, denominada *constante da mola*. Em palavras, *a força restauradora é proporcional ao deslocamento da posição de equilíbrio*.<sup>2</sup>

Em nosso estudo, a massa das molas é desprezível e não serão consideradas ações de outras forças além da força restauradora.

Dessa forma, suponha que um corpo em movimento de (dimensões desprezíveis e) massa  $m$  esteja preso à extremidade livre de uma mola, disposta ao longo do eixo das abscissas<sup>3</sup>. Então, se  $x(t)$  for a posição do corpo no instante  $t$ , a segunda lei de Newton permite escrever  $mx''(t) = -kx(t)$ , ou seja,

---

<sup>1</sup>O exemplo com *molas* serve para ilustrar o fenômeno “*elasticidade de um corpo*”, objeto de estudo da *teoria da elasticidade*. Para ter uma ideia da relevância desse tópico, o leitor pode consultar o artigo “<https://pt.wikipedia.org/wiki/Elasticidade>”, cujo trecho seguinte destacamos: “*O projeto de estruturas na construção civil usa as equações derivadas da teoria da elasticidade para dimensionar colunas, vigas e lajes.*”

<sup>2</sup>A lei de Hooke também rege o funcionamento dos *dinamômetros*, mecanismos utilizados para medir o resultado de uma força. Dinamômetros podem medir a potência de máquinas e motores, além de serem utilizados como balanças.

<sup>3</sup>Também podemos supor que, quando não flexionada, a mola tem sua extremidade livre na origem.

$$x''(t) + (k/m)x(t) = 0.$$

Pelo exemplo 5 da aula anterior, a solução dessa EDO é

$$x(t) = x(0) \cos(\sqrt{k/m} \cdot t) + \frac{x'(0)}{\sqrt{k/m}} \operatorname{sen}(\sqrt{k/m} \cdot t). \quad (1)$$

Vejamos uma aplicação da discussão acima.

**Exemplo 1.** *Em um laboratório de Física, um grupo de estudantes deve realizar um experimento de lançamento de um objeto. Para tal, dispõe-se de uma mola com uma pequena placa de aço, de massa 0,1 kg, acoplada em sua extremidade livre.*

*A mola deve ser contraída e o objeto que se pretende lançar deve ser posto no ponto de equilíbrio da mola. Quando liberada, a placa atingirá o objeto, lançando-o a uma distância predeterminada. Fazendo alguns cálculos com ajuda da teoria das colisões, os estudantes concluem que a velocidade ideal de impacto da placa com o corpo é de 18 m/s.*

*Sabendo que a constante da mola é 90 N/m, calcule o quanto ela deve ser contraída para que o experimento funcione.*

**Solução.** Se a mola for contraída  $d$  metros, então, de acordo com (1), em qualquer instante  $t \geq 0$  anterior à colisão, a posição  $x(t)$  da placa será dada por

$$x(t) = -d \cdot \cos(\sqrt{90/0,1} \cdot t) = -d \cdot \cos 30t.$$

Perceba que a parcela relativa à função seno não ocorre em  $x(t)$  pelo fato do sistema estar em repouso em  $t = 0$ , de sorte que  $x'(0) = 0$ .

A colisão ocorrerá no primeiro instante  $t_e$  em que  $x(t_e) = 0$ , isto é,  $\cos 30t_e = 0$ . Daí,  $t_e = \pi/60$  e, nesse instante, a placa atinge o objeto com velocidade

$$x'(t_e) = -d(-30 \operatorname{sen} 30t_e) = 30d.$$

Como queremos  $x'(t_e) = 18$ , a relação  $30d = 18$  segue e a resposta é  $d = 0,6$  metros.  $\square$

Com auxílio do exemplo 10 da 1ª parte dessa aula, podemos escrever

$$1 - \frac{x^2}{2} \leq \cos x \leq 1$$

para cada real  $x$ . Em particular, o erro ao se aproximar (por excesso)  $\cos x$  por 1 não ultrapassa  $x^2/2$ , já que as desigualdades acima se resumem a

$$0 \leq 1 - \cos x \leq \frac{x^2}{2}. \quad (2)$$

O próximo exemplo apresenta estimativas polinomiais relativamente mais precisas da função cosseno.

**Exemplo 2.** *Prove que*

$$1 - \frac{x^2}{2!} + \frac{x^4}{4!} - \frac{x^6}{6!} \leq \cos x \leq 1 - \frac{x^2}{2!} + \frac{x^4}{4!}$$

para todo número real  $x$ , sendo as desigualdades estritas para  $x \neq 0$ .<sup>4</sup>

**Solução.** Começemos provando que

$$\cos x < 1 - \frac{x^2}{2!} + \frac{x^4}{4!} \quad (3)$$

para todo real *positivo*  $x$ .

Com efeito, definindo  $f : \mathbb{R} \rightarrow \mathbb{R}$  por

$$f(x) = \left(1 - \frac{x^2}{2!} + \frac{x^4}{4!}\right) - \cos x,$$

temos

$$f'(x) = \left(-x + \frac{x^3}{3!}\right) + \sin x$$

---

<sup>4</sup>Tais desigualdades significam que o erro ao se aproximar (por excesso)  $\cos x$  por  $1 - \frac{x^2}{2!} + \frac{x^4}{4!}$  é menor que ou igual a  $\frac{x^6}{6!}$ . Note que, para  $|x| < \sqrt[4]{360} \approx 4,35$ , vale  $x^6/6! < x^2/2$ , de forma que, para tais valores de  $x$ , a aproximação da qual trata o exemplo 2 produz erros menores do que aquela comentada inicialmente (2).

e

$$f''(x) = \left( -1 + \frac{x^2}{2!} \right) + \cos x.$$

Pelo exemplo 10 da 1ª parte dessa aula, vemos que  $f'' > 0$  em  $(0, +\infty)$ . Esse fato, aliado às relações  $f(0) = f'(0) = 0$ , permite, via lema 9 da aula citada, concluir que  $f(x) > 0$  em  $(0, +\infty)$ . Mas isso é precisamente (3).

Como cada membro de (3) é uma função par, essa desigualdade continua válida se  $x < 0$ . Portanto,

$$\cos x \leq 1 - \frac{x^2}{2!} + \frac{x^4}{4!},$$

com igualdade se, e só se,  $x = 0$ .

O argumento para provar que

$$\cos x > 1 - \frac{x^2}{2!} + \frac{x^4}{4!} - \frac{x^6}{6!}, \quad x \neq 0,$$

é completamente similar. De fato, a regra

$$g(x) = \cos x - \left( 1 - \frac{x^2}{2!} + \frac{x^4}{4!} - \frac{x^6}{6!} \right)$$

define uma função suave  $g : \mathbb{R} \rightarrow \mathbb{R}$ ; daqui, o leitor pode completar o argumento observando que  $g(0) = g'(0) = 0$  e  $g'' = f > 0$  em  $(0, +\infty)$ .

□

**Exemplo 3.** *Um bloco de massa 1 kg está preso à extremidade livre de uma mola de constante  $k = 1$  N/m. Em um certo intervalo de tempo, a mola é estendida, com velocidade constante  $v_0$ , e solta, demorando o mesmo intervalo de tempo para retornar à posição de equilíbrio, em um instante no qual o bloco adquire velocidade  $v_e$ . Mostre que*

$$\left( \frac{v_e}{v_0} \right)^2 > 5.$$

**Solução.** Seja  $x(t)$  a posição do bloco  $t$  segundos após a mola ser solta. Assim, se  $t_0$  segundos foi o tempo total necessário para estender a mola, então, medindo o tempo a partir do instante em que ela foi solta, a hipótese garante que o bloco retorna ao ponto de equilíbrio no instante  $t_0$ , de modo que  $x(t_0) = 0$  e  $x'(t_0) = v_e$ . Além disso, vale  $x(0) = v_0 t_0$  e  $x'(0) = v_0$ .

Com essas informações, a equação (1) dá

$$x(t) = v_0(t_0 \cos t + \sin t).$$

Portanto,

$$x'(t) = v_0(-t_0 \sin t + \cos t),$$

de sorte que

$$\frac{v_e}{v_0} = \frac{x'(t_0)}{v_0} = \cos t_0 + t_0(-\sin t_0).$$

A partir de  $x(t_0) = 0$ , obtemos  $-\sin t_0 = t_0 \cos t_0$ . Substituindo essa relação na igualdade acima, segue que

$$\frac{v_e}{v_0} = (1 + t_0^2) \cos t_0. \quad (4)$$

**Afirmção 1:**  $\cos^2 t_0 \cdot (1 + t_0^2) = 1$ .

Com efeito, invocando mais uma vez a relação  $-\sin t_0 = t_0 \cos t_0$ , vem que

$$\begin{aligned} \cos^2 t_0 \cdot (1 + t_0^2) &= \cos^2 t_0 + (t_0 \cos t_0)^2 \\ &= \cos^2 t_0 + \sin^2 t_0 = 1. \end{aligned}$$

**Afirmção 2:**  $t_0 > 2$ .

Observe que  $x(t) > 0$  para todo  $t \in [0, \pi/2]$ . Daí, sendo  $t_0$  a menor raiz positiva da equação  $x(t) = 0$ , devemos ter  $t_0 > \pi/2$ . Como

$$x(\pi/2) = v_0 > 0 > -t_0 v_0 = x(\pi),$$

o TVI garante a existência de uma raiz  $t' \in (\pi/2, \pi)$  para a equação  $x(t) = 0$ , de forma que  $t_0 \leq t'$ <sup>5</sup>. Portanto, podemos afirmar que  $t_0$  e 2 são arcos do 2<sup>a</sup> quadrante (aberto)  $(\pi/2, \pi)$ .

---

<sup>5</sup>Na verdade,  $t_0 = t'$ , pois  $x$  é decrescente, logo injetiva, em  $[\pi/2, \pi]$ , já que nesse intervalo vale a desigualdade  $x' < 0$ .

Notando que a função cosseno é decrescente no 2º quadrante, se fosse  $t_0 \leq 2$ , o exemplo 2 implicaria

$$\cos t_0 \geq \cos 2 > 1 - \frac{2^2}{2} + \frac{2^4}{24} - \frac{2^6}{720} = -\frac{19}{45}.$$

Como  $t_0 \in (\pi/2, \pi)$ , temos  $0 < \cos t_0 > -\frac{19}{45}$ . Então, a desigualdade  $t_0 \leq 2$ , juntamente com a 1ª afirmação, dariam

$$\frac{1}{5} \leq \frac{1}{1+t_0^2} = \cos^2 t_0 < \left(\frac{19}{45}\right)^2,$$

gerando a contradição  $405 = 45^2/5 < 19^2 = 361$ . A 2ª afirmação está, pois, demonstrada.

O desfecho da solução é, agora, uma aplicação imediata de (4) e das afirmações acima:

$$\begin{aligned} \left(\frac{v_e}{v_0}\right)^2 &= (1+t_0^2)^2 \cos^2 t_0 = (1+t_0^2)^2 \cdot \frac{1}{1+t_0^2} \\ &= 1+t_0^2 > 1+2^2 = 5. \end{aligned}$$

□

De acordo com o exemplo 4 da 1ª parte dessa aula, a função seno é estritamente côncava no intervalo  $[0, \pi]$ . Portanto, pela desigualdade de Jensen <sup>6</sup>, se  $\alpha_1, \dots, \alpha_n$  forem arcos do intervalo  $[0, \pi]$ , então

$$\frac{\text{sen } \alpha_1 + \dots + \text{sen } \alpha_n}{n} \leq \text{sen} \left( \frac{\alpha_1 + \dots + \alpha_n}{n} \right). \quad (5)$$

Além disso, ocorre a igualdade em (5) se, e só se, todos os números  $\alpha_i$  forem iguais.

Desse modo, se  $\alpha_1, \alpha_2, \alpha_3$  forem os ângulos de um triângulo  $T$ , valerá

$$\frac{\text{sen } \alpha_1 + \text{sen } \alpha_2 + \text{sen } \alpha_3}{3} \leq \text{sen} \left( \frac{\alpha_1 + \alpha_2 + \alpha_3}{3} \right) = \frac{\sqrt{3}}{2},$$

---

<sup>6</sup>Vide teorema 13 da aula *Propriedades - Parte III* do módulo *Derivada como Função*.

pois  $\alpha_1 + \alpha_2 + \alpha_3 = \pi$ . Portanto,

$$\operatorname{sen} \alpha_1 + \operatorname{sen} \alpha_2 + \operatorname{sen} \alpha_3 \leq \frac{3\sqrt{3}}{2}, \quad (6)$$

com igualdade se, e só se,  $\alpha_1 = \alpha_2 = \alpha_3 = \pi/3$ , o que equivale a  $T$  ser um triângulo equilátero.

**Exemplo 4.** *O triângulo  $T$  tem lados de comprimento  $a, b, c$  e o raio do círculo circunscrito a  $T$  mede  $R$ . Mostre que*

$$a + b + c \leq 3\sqrt{3}R, \quad (7)$$

*valendo a igualdade se, e somente se,  $T$  for equilátero.*

**Solução.** Digamos que os ângulos opostos aos lados (de medidas)  $a, b, c$  meçam  $\alpha_1, \alpha_2, \alpha_3$ , respectivamente. Pela Lei dos Senos,

$$a = 2R \operatorname{sen} \alpha_1, \quad b = 2R \operatorname{sen} \alpha_2 \quad \text{e} \quad c = 2R \operatorname{sen} \alpha_3.$$

Logo, por (6),

$$\begin{aligned} a + b + c &= (\operatorname{sen} \alpha_1 + \operatorname{sen} \alpha_2 + \operatorname{sen} \alpha_3)2R \\ &\leq \frac{3\sqrt{3}}{2} \cdot 2R = 3\sqrt{3}R, \end{aligned}$$

com igualdade apenas no caso em que  $T$  é equilátero.  $\square$

Para reais positivos quaisquer  $a, b$  e  $c$ , algumas aplicações da desigualdade entre as médias fornecem

$$\frac{abc}{a^2 + b^2 + c^2} \leq \frac{a + b + c}{9}. \quad (8)$$

Realmente, aplicando a desigualdade para as ternas

$$(a/bc, b/ac, c/ab) \quad \text{e} \quad (a, b, c),$$

vem que

$$\begin{aligned} \frac{a^2 + b^2 + c^2}{abc} &= \frac{a}{bc} + \frac{b}{ac} + \frac{c}{ab} \\ &\geq 3\sqrt[3]{\frac{abc}{(abc)^2}} = \frac{3}{\sqrt[3]{abc}}. \end{aligned}$$



Em seguida, aplicando a mesma desigualdade para a terna  $(a, b, c)$ , continuamos a estimativa acima, obtendo

$$\frac{a^2 + b^2 + c^2}{abc} \geq \frac{3}{\sqrt[3]{abc}} \geq \frac{3}{\frac{a+b+c}{3}} = \frac{9}{a+b+c}.$$

A partir daí, (8) segue imediatamente.

Suponha, agora, que  $a$ ,  $b$  e  $c$  sejam novamente os comprimentos dos lados de um triângulo. Então, (8) e (7) dão

$$\frac{abc}{a^2 + b^2 + c^2} \leq \frac{a+b+c}{9} \leq \frac{3\sqrt{3}R}{9} = \frac{\sqrt{3}R}{3}$$

ou, o que é o mesmo,

$$\frac{abc}{4R} \leq \frac{\sqrt{3}(a^2 + b^2 + c^2)}{12}.$$

Note que vale a igualdade se, e só se, tivermos igualdade em (8) e (7), isto é, se, e só se,  $T$  for equilátero (verifique!).

Observando que  $abc/4R$  é a área de  $T$ , o argumento acima demonstrou a seguinte

**Proposição 5** (Desigualdade de Weitzenböck<sup>7</sup>). *Se  $a, b, c$  são os lados de um triângulo de área  $S$ , então*

$$S \leq \frac{\sqrt{3}(a^2 + b^2 + c^2)}{12},$$

*com igualdade se, e somente se, o triângulo for equilátero.*

Para o último exemplo, precisaremos do seguinte resultado, conhecido como *teorema de Ceva trigonométrico*: se  $P$  for um ponto interior ao triângulo  $ABC$ , então, nas notações da figura a seguir, vale

$$\operatorname{sen} \alpha \operatorname{sen} \beta \operatorname{sen} \gamma = \operatorname{sen} \alpha' \operatorname{sen} \beta' \operatorname{sen} \gamma'. \quad (9)$$

---

<sup>7</sup>Problema 2 da 3ª IMO (1961).

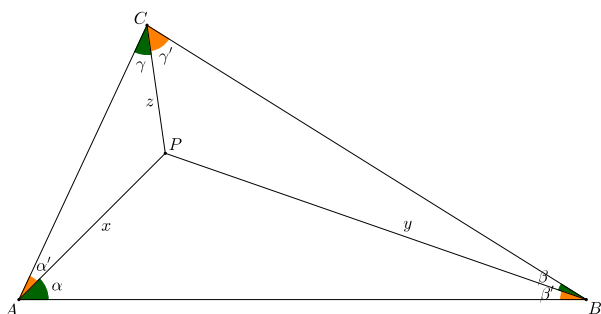


Figura 1: exemplo 6.

Essa relação pode ser provada com ajuda da Lei dos Senos. De fato, sejam  $x = \overline{AP}$ ,  $y = \overline{BP}$ ,  $z = \overline{CP}$ . No triângulo  $PAB$ , temos

$$\frac{x}{\text{sen } \beta'} = \frac{y}{\text{sen } \alpha} \Leftrightarrow x \text{ sen } \alpha = y \text{ sen } \beta'.$$

Analogamente, podemos escrever, em relação aos triângulos  $PBC, PCA$ ,

$$y \text{ sen } \beta = z \text{ sen } \gamma' \quad \text{e} \quad z \text{ sen } \gamma = x \text{ sen } \alpha'.$$

Multiplicando essas três igualdades membro a membro, vem que

$$xyz \text{ sen } \alpha \text{ sen } \beta \text{ sen } \gamma = xyz \text{ sen } \alpha' \text{ sen } \beta' \text{ sen } \gamma',$$

o que, cancelando o fator  $xyz$ , fornece (9).

**Exemplo 6** (IMO - 1991). *Seja  $P$  um ponto interior a um triângulo  $ABC$ . Mostre que pelo menos um dos ângulos  $\angle PAB$ ,  $\angle PBC$ ,  $\angle PCA$  tem medida menor ou igual a  $30^\circ$ .*

**Solução.** <sup>8</sup> Ainda tomando a figura acima como referência, caso tenhamos  $\alpha + \beta + \gamma \leq \pi/2$ , algum dos ângulos  $\alpha, \beta$  ou  $\gamma$  será menor que ou igual a  $\pi/6$  (porque?) e a solução estará encerrada.

<sup>8</sup>Baseada na solução apresentada em [1].

Caso contrário, teremos  $\alpha + \beta + \gamma > \pi/2$  e, portanto,

$$\alpha' + \beta' + \gamma' = \pi - (\alpha + \beta + \gamma) < \frac{\pi}{2},$$

de sorte que

$$\frac{\alpha' + \beta' + \gamma'}{3} < \frac{\frac{\pi}{2}}{3} = \frac{\pi}{6}. \quad (10)$$

Logo, por (9), (5), (10) e pela desigualdade entre as médias, segue que

$$\begin{aligned} \operatorname{sen} \alpha \operatorname{sen} \beta \operatorname{sen} \gamma &= \operatorname{sen} \alpha' \operatorname{sen} \beta' \operatorname{sen} \gamma' \\ &\leq \left( \frac{\operatorname{sen} \alpha' + \operatorname{sen} \beta' + \operatorname{sen} \gamma'}{3} \right)^3 \\ &\leq \operatorname{sen}^3 \left( \frac{\alpha' + \beta' + \gamma'}{3} \right) \\ &< \operatorname{sen}^3(\pi/6) = \frac{1}{8}. \end{aligned}$$

Dessa forma, algum dos números positivos  $\operatorname{sen} \alpha$ ,  $\operatorname{sen} \beta$ ,  $\operatorname{sen} \gamma$  deve ser menor que  $1/2$ , pois, do contrário, o produto deles seria maior que  $1/8$ , contradizendo a desigualdade acima. Sem perda de generalidade, suponhamos  $\operatorname{sen} \alpha < 1/2$ . Como  $\alpha \in (0, \pi)$ , a desigualdade anterior implica  $\alpha < \pi/6$  ou  $\alpha > 5\pi/6$ <sup>9</sup>. No primeiro caso, o ângulo  $\angle PAB$  tem medida menor que  $30^\circ$ ; no segundo, levando em conta que  $\alpha + \beta + \gamma < \pi$ , vale  $\beta + \gamma < \pi/6$ , de modo que  $\angle PBC$  e  $\angle PCA$  têm medidas menores que  $30^\circ$ .  $\square$

## Dicas para o Professor

Na solução do exemplo 3, a estimativa da quantidade  $(v_e/v_0)^2$  dependeu de uma aproximação por falta do instante  $t_0$  de retorno do bloco à posição de equilíbrio. Como  $t_0 = -\operatorname{tg} t_0 \in (\pi/2, \pi)$ , podemos utilizar o software *GeoGebra* para

<sup>9</sup>Observe que ângulos de medidas  $\pi/6$  e  $5\pi/6$  radianos equivalem a  $30^\circ$  e  $150^\circ$ , respectivamente.

obter  $t_0 \approx 2,028$ , com três casas decimais exatas. Assim, o erro da aproximação utilizada no texto,  $t_0 \approx 2$ , é menor que três centésimos.

As aproximações polinomiais da função cosseno expostas até aqui podem ser generalizadas do seguinte modo: *para cada inteiro  $n \geq 0$ , pondo  $P_{2n}(x) = \sum_{k=0}^n (-1)^k \frac{x^{2k}}{(2k)!}$ , tem-se*

$$P_{4n+2}(x) \leq \cos x \leq P_{4n}(x), \quad \forall x \in \mathbb{R}.$$

*Além disso, a igualdade ocorre em qualquer uma dessas desigualdades se, e só se,  $x = 0$ .*

Pode ser instrutivo convidar os alunos a demonstrar essas desigualdades por indução matemática, utilizando a mesma técnica explorada na solução do exemplo 2.

A próxima figura mostra como os gráficos das funções polinomiais  $P_{2n}$ , para  $1 \leq n \leq 4$ , vão se moldando, em torno da origem, ao gráfico da função cosseno <sup>10</sup>.

Na linguagem da *Teoria de Séries*, as desigualdades acima permitem, para cada número real  $x$ , expressar  $\cos x$  como uma soma infinita, a saber,

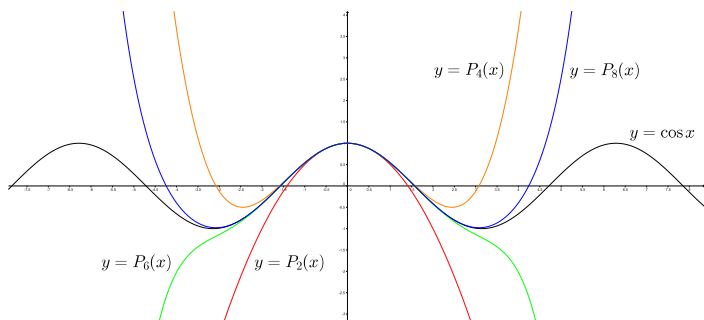
$$\cos x = 1 - \frac{x^2}{2!} + \frac{x^4}{4!} - \frac{x^6}{6!} + \frac{x^8}{8!} - \frac{x^{10}}{10!} + \dots \quad (11)$$

Para a função seno, temos

$$\sin x = x - \frac{x^3}{3!} + \frac{x^5}{5!} - \frac{x^7}{7!} + \frac{x^9}{9!} - \frac{x^{11}}{11!} + \dots \quad (12)$$

---

<sup>10</sup>Na literatura,  $P_{2n}$  é chamado *polinômio de Taylor de ordem  $2n$ , em torno da origem*, da função cosseno. Há um estudo geral de polinômios de Taylor para funções elementares, que pode ser encontrado em diversos livros de Cálculo/Análise. Em resumo, se  $f$  é uma função  $n$  vezes derivável em  $a$ , o *polinômio de Taylor de ordem  $n$ , em torno de  $a$* , de  $f$  é o único polinômio de grau  $\leq n$  cujas derivadas no ponto  $a$ , até ordem  $n$  (inclusive), coincidem com as respectivas derivadas de  $f$  em  $a$ . Para  $n = 1$ , tal polinômio nada mais é que a função afim cujo gráfico é a reta tangente (ao gráfico) de  $f$  em  $(a, f(a))$ . A exemplo do que ocorre com a função cosseno, em torno da origem, a sequência de polinômios de Taylor de  $f$  em torno de  $a$  tende a produzir aproximações polinomiais cada vez melhores de  $f$ , numa vizinhança fixada do ponto  $a$ . Para o leitor interessado, já familiarizado com o conteúdo de séries de números reais, bem como o teorema do valor médio, recomendamos a leitura da seção 5.3 da referência [2].



Estamos aqui, caro leitor, diante da possibilidade de oferecer a definição mais rigorosa, porém desprovida de significado geométrico, das funções  $\cos$  e  $\sin$ : são as funções reais de uma variável real cujas regras se expressam por (11) e (12), respectivamente. Nessa abordagem <sup>11</sup>, *todas* as propriedades (funcionais) das funções trigonométricas seguem, em última análise, apenas das relações (11) e (12).

Se  $p$  é o semiperímetro de um triângulo  $ABC$  cujo raio da circunferência inscrita é  $r$ , então  $p \geq 3\sqrt{3}r$ , com igualdade se, e só se,  $ABC$  for equilátero. Essa desigualdade foi provada na aula *Propriedade Geral* do módulo *Determinantes como Áreas - Parte II*. Assim, pelo exemplo 7, segue que

$$3\sqrt{3}R \geq 2p \geq 2 \cdot 3\sqrt{3}r,$$

logo,

$$R \geq 2r.$$

Essa é a *desigualdade de Euler*: em qualquer triângulo, o raio da circunferência circunscrita é pelo menos o dobro do raio da circunferência inscrita, ocorrendo a igualdade se, e somente se, o triângulo for equilátero.

Duas ou três sessões de 50min devem ser suficientes para expor o conteúdo desse material.

<sup>11</sup>Confira a seção 12.4 da referência [3].

## Sugestões de Leitura Complementar

1. Titu Andreescu, Zuming Feng. *103 Trigonometry Problems*. Birkhäuser, 2005.
2. A. Caminha. *Fundamentos de Cálculo*, 2<sup>a</sup> ed. Rio de Janeiro: SBM, Rio de Janeiro, 2022.
3. E. L. Lima. *Análise Real, vol. 1: Funções de uma Variável*. 13<sup>a</sup> ed. Rio de Janeiro: IMPA, 2020.

Portal OBMEP